

بررسی ویژگی‌های فیزیکوشیمیایی و کانی‌شناسی توالی لس-پالوسول در شهرستان ساری

۱- دانشجوی ارشد علوم خاک دانشگاه زنجان، ۲- استادیار گروه علوم خاک دانشگاه زنجان، ۳- دانشجوی دکتری علوم خاک
دانشگاه زنجان

چکیده

در تحقیق حاضر، خصوصیات فیزیکوشیمیایی و کانی شناسی خاکهای لس-پالتوسلول شهرستان ساری بررسی شد. مقطع ساری از تناب نهشته‌های لسی و خاکهای قدیمی تشکیل شده بود. در افق‌های لسی سطحی ایلیت و کلریت آهن دار و مقادیر ناچیز کانی‌های قابل انبساط وجود داشت. در افق‌های آرجیلیک مقادیر کلریت کاهش و در افق لسی بعدی مقدار آن افزایش یافته و نوع آن نیز به کلریت الومینیومدار تغییر کرد. به نوعی با افزایش تکامل خاک نوع کلریت از آهن دار به الومینیومدار تغییر کرده است و کلریت-ورمیکولیت نیز مشاهده شد ایلیت-اسمکتیت روبه پایین به حداقل میزان خود رسید. نتایج نشان از تکامل افق‌های آرجیلیک نسبت به افق لسی بوده و شرایط هوازدگی شدیدی در هنگام تشکیل این افق‌ها وجود داشته است. واژه‌های کلیدی: آرجیلیک، پارینه خاک، کلریت

مقدمة

برخی از مناطق نادر بطور پیوسته دارای توالی‌های لس-پالتوسول هستند که سن آن‌ها به دوران پلیوستوسن بر می‌گردد (Markovic et al., 2011). کانی‌شناسی بخش رس خاکهای قدیمی اطلاعاتی از تغییرات اقلیمی کواترنر و شرایط محیطی گذشته ارائه می‌دهد. زیرا گذشت زمان و اقلیم‌های متفاوت موجب تغییر در کانی‌های رسی می‌شود. (Jeong et al., 2011) در مطالعه ویژگی‌های خاک‌ها در مقطعی از توالی لس-پالتوسول با شرایط اقلیمی متفاوت در فلات‌های چین گزارش کردند که مقدار کانی‌های انبساط‌پذیر به دلیل هوازدگی بیوتیت، کلریت و ایلیت با عمق افزایش یافته، اما کائولینیت تغییر چندانی ندارد و میکاهای با عمق تغییرات کافی داشت. Eze and Meadows (2014) در بررسی توالی‌های لس-پالتوسول در جنوب آفریقا تفاوت‌های قابل توجهی در ویژگی‌های کانی‌شناسی پالتوسول و رسوبات لسی نهشته شده مشاهده کردند. خاکهای پالتوسول با سن میوسن دارای کانی‌های هالوسیت، کلریت، میکا، مسکوویت و کائولینیت در ترکیب کانی‌شناسی بخش رس بود که منابع رس آن‌ها می‌تواند پدوژنی بوده و یا از مواد مادری انتقالی باشد.

مواد و روش‌ها

در این پژوهش مقطع عرضی در شهرستان ساری با مختصات عرض جغرافیایی ۳۶ درجه و ۳۹ دقیقه ۳۴ ثانیه و طول جغرافیایی ۵۳ درجه و ۱۹ دقیقه و ۶۵ ثانیه در کنار جاده ساری-گرگان واقع در کنار روستای چالهپوراز از توابع نکا روی تپه‌های لسی مطالعه شد. ویژگی‌های مورفو‌لوژیکی از قبیل رنگ خاک، ساختمان، تجمع آهک، رس و مواد آلی، ماتلّها ترانشه‌های موردنظر مطابق با روش استاندارد (Schoeneberge et al., ۲۰۱۲) ثبت و نمونه‌های خاک دست‌خورده و دست‌نخورده جمع‌آوری گردید. بافت خاک به روش pH، کربنات کلسیم معادل (Nelson, ۱۹۸۲)، کربن آبی (Jackson, ۲۰۰۵) در خاک اندازه‌گیری شد. نمونه‌های رس خاک پس از هیدرومتر، (Kittrick and Hope, ۱۹۶۲) توسط دستگاه اشعه ایکس پراش پرتوایکس مدل بروکر D₄ در دانشگاه زنجان مطالعه شد. تیمارهای منیزیم، منیزیم و بخار اتیلن گلیکول، پتانسیم در دماهای ۲۵°، ۳۵° و ۵۵° درجه سلسیوس و تیمار تكمیلی اسیدکلریدریک به نمونه‌های رس اعمال شد.

نتائج و بحث

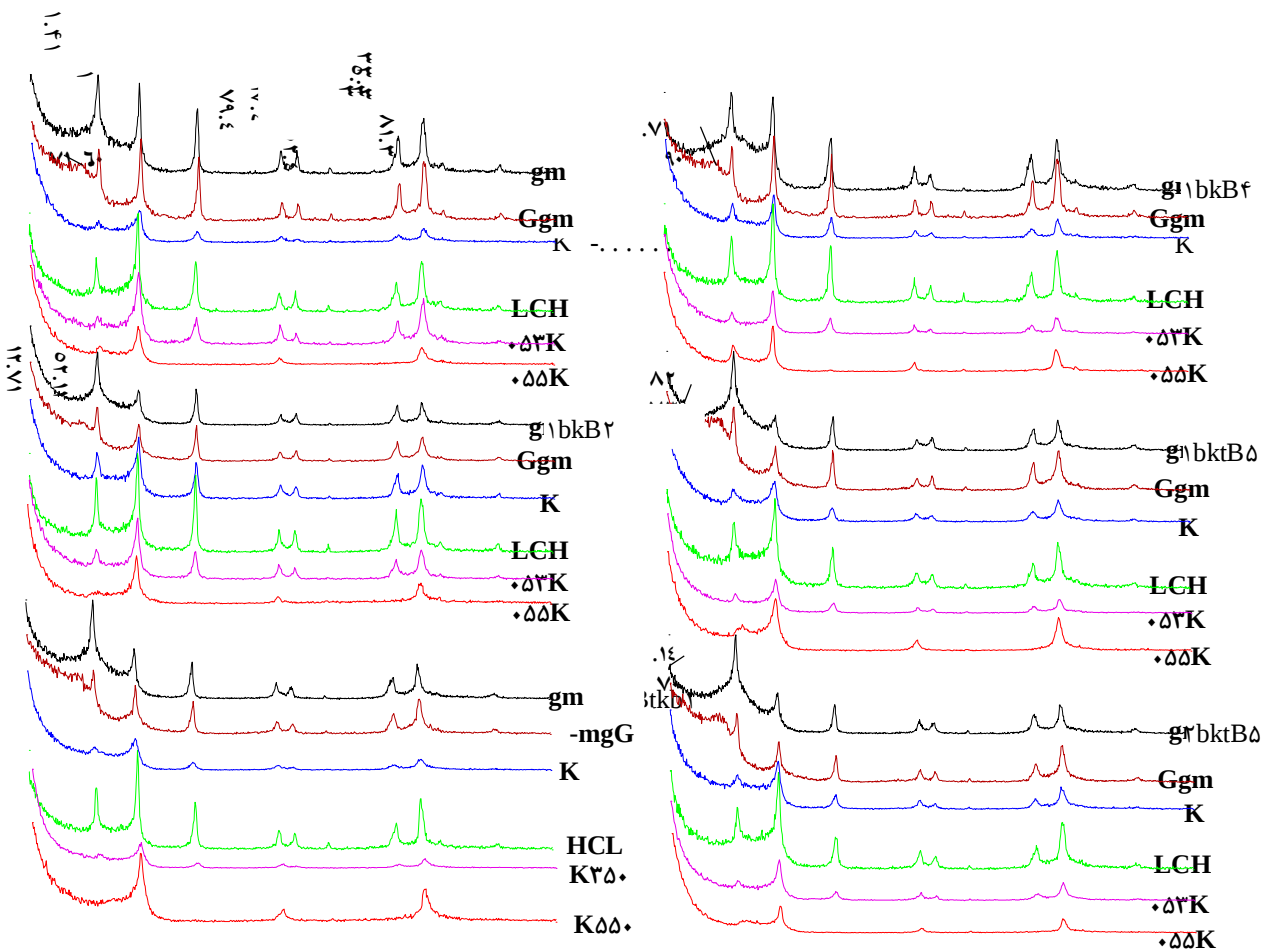
بطور کلی مقطع ساری از تناوب دو بخش اساسی شامل رسوبات جدید یا نهشته‌های لسی زرد رنگ و افق‌های قمز و قهوه‌ای رنگ است. افق‌های تجمع رس دارای بافت‌های رسی با ساختمان مکعبی زاویه دار متوسط تا درشت قوی و استحکام هستند. اما در افق‌ها لسی بافت سبکتر با ساختمان ضعیف وجود دارد که برخلاف افق‌های رسی جوشش بالایی با اسید کلریدریک دارد. رنگ افق‌های لسی حدوداً $8/3$ YR است که در افق‌های رسی قمز تر شده و به $5/6$ و $5/5$ YR و $4/6$ می‌رسد (جدول ۱). نتایج کانی‌شناسی مقطع ساری در افق C نشان داد که ایلیت و کلریت آهن‌دار در این افق وجود دارد حضور آستانه 14 آنگستروم و 10 آنگستروم بعد از اشباع با پاتاسیم و حرارت 550 درجه سلسیوس بیان گر حضور کلریت اولیه با منشا ارشی است (شکل ۱). در افق‌های کائولینیت نیز در تمام افق‌ها مشاهده می‌شود. وجود آستانه 17 آنگستروم در تیمار اتلین گلیکول نشان دهنده کانی‌های قابل انبساط اسمنتیت است هرچند که میزان آن بسیار کم است. یک احتمال دیگر این است که ورقه‌های کلریت بخاره‌وار هوازدگی از بین رفته باشد و با نفوذ بخار اتلین گلیکول منجر به انبساط کلریت شده باشد. افزایش آستانه 10 آنگستروم و کاهش 14 آنگستروم وجود کانی ورمیکولیت را نشان می‌دهد. تغییرات جزئی در این روند به سوی افق‌های زیرین رخ داد. در افق $2Btkb1$ مقادیر کلریت به حد ناجیزی رسید و در افق $Bkb3$ به یکباره مقدار آن افزایش یافت و نوع آن نیز به کلریت آهن‌دار تغییر یافت. مشابه همین اتفاق

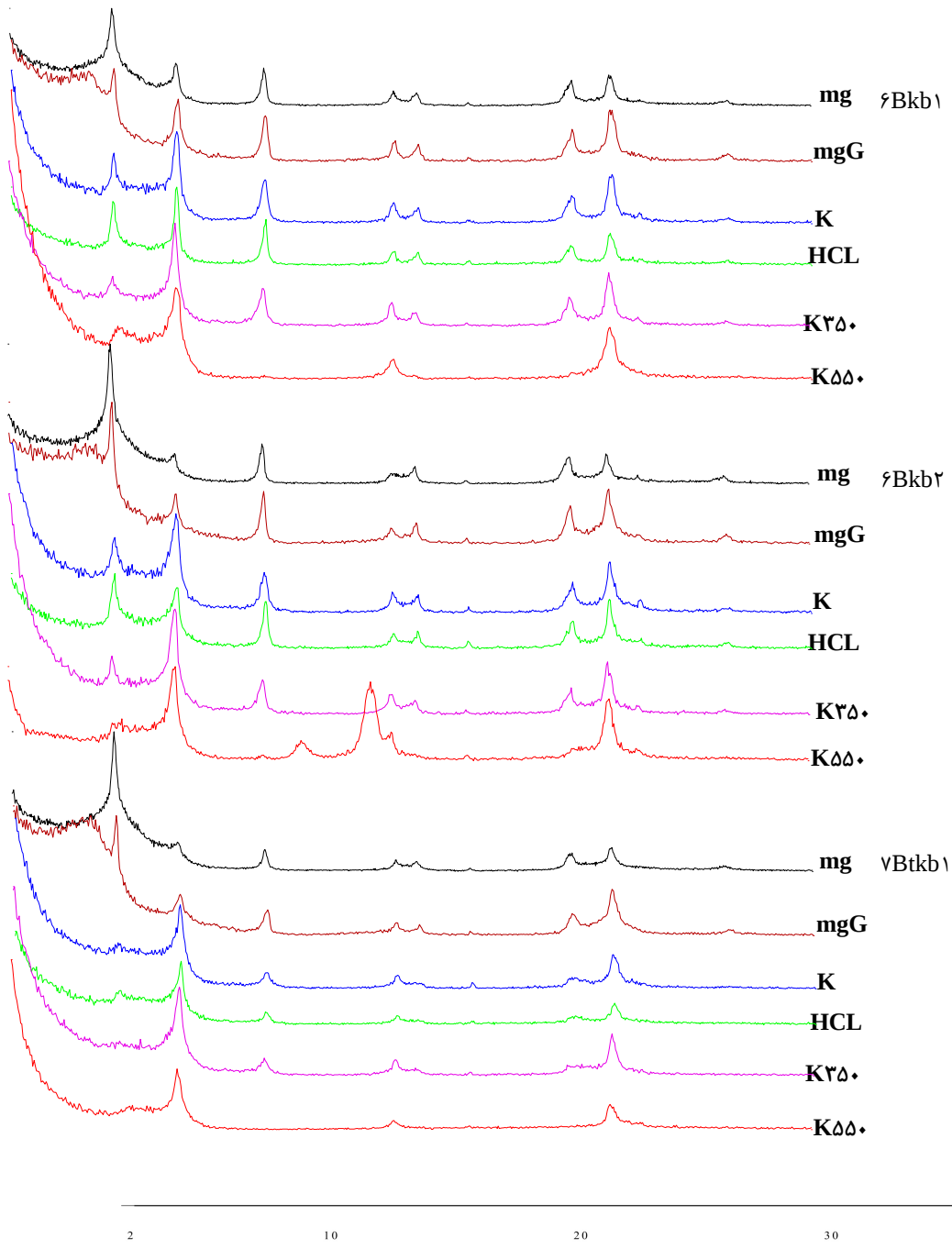
در افق ۶Bkb۲ نیز رخ داد. حضور آستانه ۷ و کاهش جزئی رده های فرد این کانی مovid این تغییر است. به طور عمومی شدت آستانه های زوج کانی کلریت با افزایش عمق نسبت به آستانه های فرد افزایش شد داشته است. این بیان گر کاهش مقدار آهن در کلریت است. به نوعی با افزایش تکامل خاک نوع کلریت از آهن دار به آلومینیوم دار تغییر کرده است. میزان کانی اسمنکتیت (قابل انبساط) با توجه به آستانه ۱۷، در افق ۷Btcb۱ به بیشترین مقدار خود رسید. ایلیت-اسمنکتیت نیز در افق های ۷Btcb۲ به مقدار خیلی ناچیز وجود دارد و رو به پایین در افق ۴Btcb۴ به حد اکثر میزان خود می رسد. (Perederij et al., ۲۰۰۱).

جدول (۱) برخی خصوصیات مورفولوژیکی و نتایج برخی ویژگی های فیزیکی و شیمیایی

Horizon	Depth (cm)	Structure	Clay coating	Color (Dry)	texture	pH	%CaCO ₃	%OC
C	۰-۱۵۱	SG	-	۱۰ YR ۸/۳	LS	۷.۹	۲۳.۸۷	.۱۴
۲Bkb۱	۱۵۱-۱۸۴	۱CABK	-	۱۰ YR ۷/۴	SL	۷.۹	۱۱.۲۵	.۱۴
۲Bkb۲	۱۸۴-۲۰۸	۲MABK	-	۱۰ YR ۶/۴	SL	۷.۶	۱۲.۵	.۱۴
۲Btcb۱	۲۰۸-۲۴۱	۲MABK	VFC-PBP	۷.۵YR ۶/۶	SiC	۷.۹	۷.۵	.۲۳
۴Bkb۱	۲۴۱-۲۷۷	۱MABK	-	۱۰ YR ۸/۳	SiL	۸	۴۸	.۱۲
۴Bkb۲	۲۷۷-۳۳۵	۱MABK	-	۱۰ YR ۸/۳	SiL	۸	۴۵.۳۷	.۱۷
۴Bkb۳	۳۳۵-۳۶۴	۲MABK	-	۱۰ YR ۶/۴	SiCL	۷.۸	۳۴.۱۲	.۱۴
۵Btcb۱	۳۶۴-۳۹۳	۲MABK	CDCPCP	۷.۵YR ۵/۶	C	۷.۸	۱۶.۷۵	.۱۲
۵Btcb۲	۳۹۳-۴۳۵	۲MABK	CDCPCP	۷.۵YR ۴/۶	C	۷.۵	۳۳.۵	.۱۴
۶Bkb۱	۴۳۵-۴۷۷	۱CABK	-	۱۰ YR ۸/۳	SiCL	۷.۴	۴۶.۲۵	.۱۷
۶Bkb۲	۴۷۷-۵۲۰	۲FABK	-	۱۰ YR ۷/۳	SiCL	۷.۴	۳۱.۵	.۱۴
۷Btcb۱	۵۲۰-۵۹۰	۲CABK	MDCPCP	۵YR ۵/۶	C	۷.۴	۱۵.۳۷	.۱۷
۷Btcb۲	۵۹۰<	۲CABK	-	۲.۵YR ۴/۶	C	۷.۷	۱۲.۳۷	.۱۲

Structure: (۱=Weak, ۲=Moderate, ۳= Strong), (F=fine, M=medium, C= coarse, GR=granular, ABK=angular blocky, SG=single grain); Concentration: CAN= carbonate nodule, FDC= finely disseminated carbonate, CAM= carbonate massive; clay coating : V=very few, C=common, M=many), (F=faint, D=distinct), (C=continuous), (P=Pedface), (B=broken, C=continues), (P=platy); texture : C=clay, L=loam, S=sand, Si=silt





شکل (۱) پراش نگاشت های اشعه ایکس مربوط به بخش رس نیمرخ ساری



منابع

- Bourne W.C. and Whiteside E.P. ۱۹۶۲. A study of the morphology and pedogenesis of a medial chernozem developed in loess. *Soil Science Society of America Journal*, ۲۶(۵): ۴۸۴-۴۹۰.
- Chapman H.D. ۱۹۶۵. Cation exchange capacity. In: Black, C. A. (ed.). *Methods of Soil Analysis*, part ۲. American Society of Agronomy, Madison. Pp. ۸۹۱-۹۰۱.
- Eze P.N. and Meadows M.E. ۲۰۱۴. Mineralogy and micromorphology of a late Neogene paleosol sequence at Langebaanweg, South Africa. *Inference of paleoclimates, Palaeogeography, Palaeoclimatology, Palaeoecology*, ۴۰۹: ۲۰۵-۲۱۶.
- Graham R.C., Diallo M.M. and Lund L.J. ۱۹۹۰. Soils and mineral weathering on phyllite colluvium and serpentinite in northwestern California. *Soil Science Society of America Journal*, ۵۴(۶): ۱۶۸۲-۱۶۹۰.
- Jackson M.L. and Barak P. ۲۰۰۵. *Soil chemical analysis : advanced course*. UW-Madison Libraries Parallel Press.
- Jeong G.Y., Hillier S. and Kemp R.A. ۲۰۱۱. Changes in mineralogy of loess-paleosol sections across the Chinese Loess Plateau. *Quaternary Research*, ۷۵(۱): ۲۴۵-۲۵۵.
- Kittrick J.A. and Hope E.W. ۱۹۶۳. A procedure for the particle size separation of soils for X-ray diffraction Analysis. *Soil Science*, ۹۶: ۳۱۲-۳۲۵.
- Markovic S.B., Hambach U., Stevens T., Kukla G.J., Heller F., McCoy W.D. and Ziller L. ۲۰۱۱. The last million years recorded at the Stari Slankamen Northern Serbia loess-palaeosol sequence: revised chronostratigraphy and long-term environmental trends. *Quaternary Science Reviews*, ۳۰(۹): ۱۱۴۲-۱۱۵۴.
- Nelson, D.W., and Sommers, L.E. ۱۹۸۲. Total Carbon, Organic Carbon and Organic MatterIn: Page, A.L, et al (Eds), *Methods of Soil Analysis. Part II. Chemical and microbiological properties*, ۲nd ed., Agronomy Monograph. No: ۹. ASA and SSSA. Madison, Wisconsin, USA, Pp. ۵۳۹-۵۷۷.
- Pereverj V.I. ۲۰۰۱. Clay mineral composition and palaeoclimatic interpretation of the Pleistocene deposits of Ukraine. *Quaternary International*, ۷۶: ۱۱۳-۱۲۱.
- Schoeneberger P.J.D.A., Wysocki E.C., Benham and Broderson W.D. ۲۰۱۲. Field book for describing and sampling soils, Version ۳. Natural Resources Conservation Service, National Soil Survey Center, Lincoln, NE, Pp. ۲۲۸.

Abstract

In this study, physicochemical and mineralogy characterizes of soils Loess-paleosol in Sari were investigated. Sari profile was contained of sequences of loess and paleosol horizons. Illite, iron rich chlorite and trace amounts of expandable minerals distinguished in surface loess horizons. The chlorite increased in argillic and reduced in the next loess horizon, the type of iron chlorite was also changed to aluminum form and illite-chlorite distinguished. To an increasing development of iron aluminum chlorite type of soil has changed and chlorite-vermiculite was observed. Smectite next argillic as well as the highest value reached in the horizon. Illite-smectite downward reached its maximum. The results showed argillic horizons was more developed than loess horizons and severe weathering conditions existed during the formation of these horizons there.